

Para os átomos de 1 elétron:

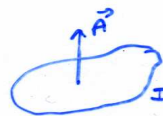
resolvemos a equação de Schrödinger, achamos:

- $\Psi_{nlm}(r, \theta, \varphi) = R_{nl}(r) \Theta_{lm}(\theta) \Phi_{lm}(\varphi)$
- $E_n = -(13,6 \text{ eV}) \frac{Z^2}{n^2}$
- A camada de energia E_n é degenerada, ela abriga subcamadas de índice $l = 0, \dots, n-1$. As próprias subcamadas abrigam orbitais de índice $m_l = -l, \dots, +l$. (E cada orbital abriga 2 estados de spin, como veremos)

No modelo de Bohr, não existe esta degenerescência. Há como verificar a existência de todas estas orbitais experimentalmente?

Efeito Zeeman §43-3

Revisão: uma espira plana de área \vec{A} conduzindo uma corrente I tem momento magnético de dipolo: $\vec{\mu} = I\vec{A}$.



Quando $\vec{\mu}$ é colocado num campo magnético externo, este exerce um torque $\vec{\tau} = \vec{\mu} \wedge \vec{B}$ sobre o dipolo. A energia potencial associada com esta interação é: $U = -\vec{\mu} \cdot \vec{B}$.

Nosso tratamento agora para o átomo de 1 elétron vai ser simplificado (p.ex. usaremos o modelo de Bohr). Um tratamento mais rigoroso com a mecânica quântica é possível e os resultados são os mesmos.

2

No modelo de Bohr, o elétron na sua órbita de raio r (e velocidade v) dados, é equivalente a uma espira de corrente de área πr^2 . A corrente é: $\frac{e}{T}$ com T período, $= \frac{2\pi r}{v}$. Então:

$$\mu = IA = \frac{ev}{2\pi r} \times \pi r^2 = \frac{evr}{2}$$

Usando $L = mvr$, podemos escrever $\mu = \frac{e}{2m} L$.
 [$\mu/L = e/(2m) \equiv$ razão giro magnética]

No modelo de Bohr $L = n\hbar$ com $n=1, \dots$
 $\Rightarrow \mu = \frac{e\hbar}{2m}$ para $n=1$
 $\equiv \mu_B$, magneton de Bohr.
 $= 9,274 \cdot 10^{-24}$ J/T.

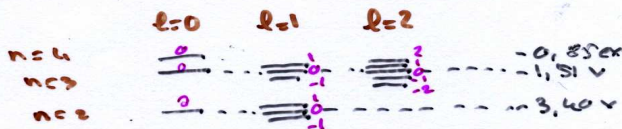
No modelo quântico, poder-se mostram que
 ainda tem: $\mu = e/(2m)L$,
 MAS

$L=0$ é possível pois $L = \sqrt{l(l+1)} \hbar$ com $l=0, \dots, n-1$.

Supomos \vec{B} , o campo magnético externo, $\parallel O_z$

$\Rightarrow U = -\vec{\mu} \cdot \vec{B} = -\mu_z B_z = -\left(\frac{e}{2m} L_z\right) B_z = +\frac{e\hbar}{2m} m_l B = \mu_B B m_l$,
 com $m_l = -l, \dots, +l$.

\Rightarrow O efeito de \vec{B} é deslocar de U cada energia de
 uma orbital $E_n \rightarrow E_n + \mu_B B m_l$



níveis de energia de
 um átomo de H
 num campo magn.

$n=1$ $\frac{m_e c^2}{2}$ ----- -13,6 eV

na presença de um
 campo magn. ext.

Este desdobramento das linhas espectrais foi observado em 1896 por Zeeman e por isto tem seu nome.

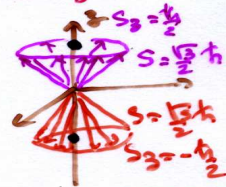
O spin do elétron §43.4

Os espectros capistas encontraram outros desdobramentos dos níveis de energia, alguns com espaçamentos diferentes (≡ efeito Zeeman anormal). Havia também desdobramentos na ausência de campo magnético externo.

Em 1922, os físicos alemães Stern e Gerlach fizeram átomos de prata neutros atravessarem um campo magnético não-uniforme. Eles observaram que o feixe se dividia em 2. Isto não era em acordo com a previsão da mecânica quântica: $2l+1$ é ímpar. Isto sugere que existe outro número quântico do elétron, com valor semi-inteiro.

Este número quântico do elétron é associado ao momento angular de spin \vec{S} . Em analogia com \vec{L} :

$$S = \sqrt{s(s+1)} \hbar = \frac{\sqrt{3}}{2} \hbar \text{ pois } s = 1/2$$
$$S_z = m_s \hbar = \pm \frac{\hbar}{2} \text{ pois } m_s = \pm 1/2$$



Este número quântico é uma característica do elétron, como sua carga (não precisa por exemplo de um campo magnético para ele se manifestar).

Às vezes, considera-se que os valores positivos para m_s correspondem aos 2 sentidos de rotação de elétron sobre si mesmo. Isto não é muito correto pois o elétron não é localizado. Porém ajuda a entender o desdobramento das linhas na ausência de campo magnético externo. Um observador ligado ao elétron vê o núcleo positivo girando ao redor, o que produz um campo magnético. A interação entre este campo magnético e o momento magnético de spin do elétron $\mu_B = -2 \frac{e}{2m} S_z$ produz o deslocamento.

Átomos com muitos elétrons §43-5

Vimos que o estado de um átomo de 1 elétron podia ser descrito pelos números quânticos:

$$n, l, m_l, m_s.$$

Na verdade estes 4 números quânticos podem ser usados para descrever todos os estados eletrônicos de um átomo qualquer.

A razão é a seguinte. A equação de Schrödinger fica mais complicada pois cada elétron interage não só com o núcleo mas com todos os outros elétrons. Na aproximação de campo central, a energia potencial correspondendo a estas interações sobre um dado elétron é suposta esfericamente simétrica. Assim devemos substituir na eq. de Schrödinger.

$$-\frac{1}{4\pi\epsilon_0} \frac{Ze^2}{r} \text{ por } U(r)$$

Na função de onda: $\psi(r, \theta, \phi) = R(r) \Theta(\theta) \Phi(\phi)$, Θ e Φ não mudam $\Rightarrow l$ e m_l não mudam de significado. m_s também não. Por outro lado R é diferente e a energia passa a depender de n e l , não só de n .

Para entender a estrutura atômica de átomos com muitos elétrons, precisamos de uma regra adicional, descoberta por Pauli (1925); o princípio de exclusão que diz que 2 elétrons não podem ocupar o mesmo estado quântico n, l, m_l, m_s .

Preenchemos as subcamadas por energia crescente (agora a energia depende de $n \leftrightarrow$ camada e $l \leftrightarrow$ subcamada). A regra de Madelung diz que as subcamadas são preenchidas por ordem de m em n $n+l$; Se o $n+l$ for o mesmo, primeiro vem o de menor n .
(existe exceções)

graficamente:

n	l=0	1	2	3	4	Ordem de preenchimento das orbitais externas
1	1s					1s
2	2s	2p				2s
3	3s	3p	3d			3p
4	4s	4p	4d	4f		3d
5	5s	5p	5d	5f	5g	3p
						4s
						3d
						etc

(→ Setas de m+l fixo, sentido crescente)

Preenchemos as orbitais de mesma energia com spins desparelhados (regra de Hund... existk exceções também)

Assim obtemos:

Z	Elemento	1s	2s	2p	Configuração eletrônica
1	H	↑			1s ¹
2	He	↑↓			1s ²
3	Li	↑↓	↑		1s ² 2s ¹
4	Be	↑↓	↑↓		1s ² 2s ²
5	B	↑↓	↑↓	↑	1s ² 2s ² 2p ¹
6	C	↑↓	↑↓	↑↑	1s ² 2s ² 2p ²
	etc.				

Além de explicar a ordem dos elementos na tabela periódica, a mecânica quântica permite entender porquê certos elementos km propriedades químicas similares. Por exemplo na última coluna:

He 1s² completa + lacuna grande até a próxima subcam.
 Ne 1s²2s²2p⁶ " " "
 Ar 1s²2s²2p⁶3s²3p⁶ " " "
 Kr
 Xe
 Rn

⇒ Estes elementos interagem pouco (gases nobres)

Formulário

$$E = hf = hc/\lambda, \quad E = pc,$$

$$E = m_0\gamma c^2, \quad \vec{p} = m_0\gamma\vec{v}, \quad E_{\text{cin}} = m_0\gamma c^2 - m_0c^2, \quad \text{onde } \gamma = (1 - v^2/c^2)^{-1/2},$$

$$E = \sqrt{p^2c^2 + m_0^2c^4}, \quad \lambda' = \lambda + \lambda_0(1 - \cos\theta), \quad \text{onde } \lambda_0 = h/(m_0c).$$

$$\Delta p \Delta x \geq \hbar/2, \quad \Delta E \Delta t \geq \hbar/2, \quad \hbar = h/(2\pi).$$

$$-\frac{\hbar^2}{2m} \frac{d^2\psi(x)}{dx^2} + U(x)\psi(x) = E\psi(x).$$

$$L = \sqrt{\ell(\ell+1)} \hbar, \quad L_z = m_\ell \hbar, \quad S = \sqrt{s(s+1)} \hbar, \quad S_z = m_s \hbar.$$

Questão 4

Para preencher com elétrons as subcamadas de um átomo usa-se a regra: as subcamadas que têm o menor valor de $n + \ell$ são preenchidas antes; se duas subcamadas têm o mesmo valor de $n + \ell$, preenche-se antes a subcamada com menor valor de n .

- (a) (1,5 ponto) Use a regra acima para escrever a configuração eletrônica do Sc , que é o elemento com número atômico mais baixo com um elétron na subcamada d .
- (b) (1,0 ponto) Quais são os valores possíveis do módulo do momento angular e de sua componente z para o elétron d do Sc ?

Questão 4

Num átomo neutro no estado fundamental as camadas $n = 1$ e $n = 2$ estão totalmente preenchidas. Além disto, há 6 elétrons na camada $n = 3$.

- (a) (1,0 ponto) Determine os números quânticos n , ℓ , m_ℓ e m_s de todos os elétrons e o número atômico Z deste átomo.
- (b) (1,0 ponto) Quais são os valores possíveis do módulo do momento angular orbital e sua projeção sobre o eixo z para um elétron deste átomo?
- (c) (0,5 ponto) Quais são os valores possíveis do módulo do momento angular de spin e sua projeção sobre o eixo z para um elétron deste átomo?

2008

Questão 4

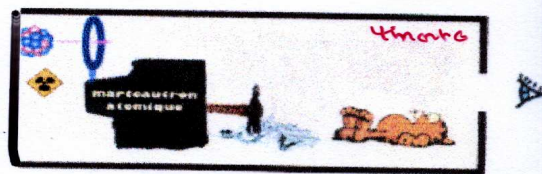
O átomo de flúor tem número atômico $Z = 9$.

- (a) (1,5 ponto) Escreva a configuração eletrônica do átomo de flúor e os números quânticos n , l , m_l e m_s para cada elétron.
- (b) (1,0 ponto) Numa transição entre dois estados o átomo de flúor permanece no estado de maior energia durante um intervalo de tempo $\Delta t = 2,5 \times 10^{-8}$ s antes de emitir um fóton e decair ao estado de menor energia. Qual é a incerteza mínima na energia em elétron-volts daquele estado de maior energia?

Dado: $\hbar = 6,6 \times 10^{-16}$ eV·s.

O gato de Schrödinger

Coloque um gato numa caixa, com um pouco de substância radiativa, uma quantidade tão pequena que após 1 hora, tem probabilidade de 50% de ter tido 1 decaimento, e 50% para 0 decaimento. Se há decaimento, o detector registra isto e aciona um martel, o qual quebra um frasco de veneno e o infeliz gato morre. Assim após 1 hora, a chance de o gato ser vivo é 50% e morto 50%.
A sua função de onda é: $\psi = \psi_{\text{vivo}} + \psi_{\text{morto}}$.



Ele é vivo e morto.



Da mesma maneira, para achar a probabilidade de encontrar um elétron sobre a tela numa experiência de fenda dupla, devemos usar a função de onda: $\psi = \psi_1 + \psi_2$ com $|\psi_i|^2$ proba. de passar na 1ª fenda, e $|\psi_2|^2$ na 2ª. Somente com um detector localizado perto de uma fenda, podemos dizer por qual fenda o elétron passou. Sem detector, ele passa pelas duas.

Da mesma maneira, quando olhamos após 1h, sabemos se o gato é vivo ou morto, ... até olharmos ele estava meio-vivo???, foi nossa observação que o matou???

Uma explicação bastante aceita é que o que faz papel de observação não é nós, mas o disparo do detector.

Outra explicação é que ambas as possibilidades "monta" e "nua" existem e há 2 universos paralelos sem possibilidade de comunicação entre si.

Etc.

A mecânica quântica tem muitos sucessos mas sua interpretação ainda é objeto de pesquisa. (Pode ser que as futuras gerações riam de nós.)